

臨床検査シリーズ

末梢神経伝導検査

: 近畿大学医学部附属病院における参考基準値の設定と 病態診断への貢献

前川 岡 知 珠 高田和男1 上 俗 俊 法2 溏

近畿大学医学部附属病院中央臨床検査部 '近畿大学医学部内科学教室(神経内科部門) 2近畿大学医学部附属病院臨床検査医学部

はじめに

神経活動は、神経組織に刺激が加わると脱分極が おこることでインパルスを軸索に伝える現象であ る. この生理現象を利用して,外的に神経組織を刺 激して記録部位から,神経活動電位もしくは神経筋 接合部を介した筋電位を記録することを基本的な原 理とする。その記録情報に基づき、神経伝導性を評 価するのが末梢神経伝導検査 (NCS:nerve conduction study) である。NCS は身長・年齢・測定表 面温度などの被検者因子や,検者の経験・使用した 機器特性などの技術因子に大きな影響を受けること が知られる。このため日本臨床神経生理学会では, 施設ごとに基準値を設定する事を推奨している。基 準値を設定するにあたり,設置位置,刺激位置,測 定温度を厳格にすることで、検者間の経験によるば らつきをなくす努力がなされた。このばらつきを最 小限度に押さえることで,病態把握や診断に有力な 手段として NCS が臨床で応用される。精度限界は あるが, 症例ごとの比較検討も可能となった。

平成10年より当院中央臨床検査部生理検査室にお いて、NCS 検査(正中・尺骨・脛骨・腓腹神経の4 種)を実施した。当時、基準値設定はなく検査数値 のみの報告であった。その理由は病態の解釈を主体 とした検査であるため、NCS 単独で確定診断に至る ことは少なく,総合的な臨床判断が必要とされたた め,神経内科医により作成された基準値を流用する 形式が採用されていた。

検査技師の経験が向上した平成19年度には NCS 測定機器の更新に伴い, 神経内科医と検査技師間の 検査手技の標準化をはかった。このために、神経内 科医らにより、当院の NCS 検査を行うための、検査

手順などをまとめた「末梢神経伝導検査マニュアル | が作成された、これを機会に、院内の統一基準値を 作成することになった.

本論文では NCS の検査原理,パラメータ解釈お よび検査手技について論じるとともに,標準化手技 にて設定した新しい院内参考基準値を紹介する.

I NCS の目的

NCS を施行するにあたり、①ニューロパチーが存 在するか。②病変の主体が軸索変性か脱髄性か。③ 神経線維脱落の程度はどれほどか。 ④病変部位は限 局性か広汎性か。⑤潜在性病変がないか。⑥回復を 示唆する所見はあるか。この判断材料となりうる技 術精度で実際の検査を行うことが基本である.

II NCS の原理

1) 運動神経伝導検査 (MCS: motor conduction study)

運動ニューロンから出た運動神経線維1本は、筋 内で分岐して多数の筋線維を支配する。これは運動 単位(MU:motor unit)とよばれる。各々の神経に よって MU に属する筋線維の数はまちまちである。 支配される筋線維数は神経支配比とよばれ、細かい 運動が必要な筋では神経支配比は小さく、 粗大運動 をする筋では大きい値になっている。NCS の記録部 位である筋肉(短母指外転筋, 小指外転筋, 母趾外 転筋, 短趾伸筋など)の神経支配比は200-300本であ ると報告されている1. MCS を記録するには,刺激す る神経支配の筋腹に記録電極, 腱に基準電極を配置 する。例えば,正中神経では、記録に使われる短母 指外転筋の運動単位数は約200個であり、その神経支 配比は200-300本である。よって,正中神経を興奮さ せると短母指外転筋にある数万本の筋線維が同時に 興奮する現象がおこる。この時に発生する電位を複

合筋活動電位 (CMAP: compound muscle action potential, M波) という。表面電極で記録される MU 1個からの振幅は平均で約0.05 mV と推定され、全体が同時に興奮すると約10 mV の筋電位が理論的には得られる。

2) 感覚神経伝導検査 (SCS: sensory conduction study)

SCS では MCS と違い、神経の活動電位を直接記録することが基本となる。記録には表面電極などを用いて、複合神経活動電位(CSNAP, SNAP: compound sensory nerve action potential)を計測する。1本の神経に由来する電位変化は小さいが数百本以上の神経線維の同期した活動電位として捉えられるため、記録が可能となる。

III NCS 測定時に観察される波形・現象

1) 位相相殺 (phase cancellation)

複数の神経線維が同時に興奮したとしても、個々 の神経線維の伝導時間にばらつきがあるため、記録 部位で位相のずれが生じる。刺激部位と記録部位が 短い距離の場合は、線維ごとの伝導時間差が小さい ため, 位相差も小さくすむが, 長距離では線維ごと の伝導時間のずれが大きくなり, 位相のずれも大き くなる。その結果、活動電位の陰性成分と陽性成分 の重なりが増し、振幅は低下し、持続時間は延長傾 向となる. この現象は、持続時間の長い運動単位電 位で構成される CMAP に比べ、持続時間の短い神 経活動電位である SNAP ではよく観察される. SNAP における位相相殺は正常で観察される所見 である。一方,正常のCMAPでは「振幅が低下し, 持続時間が延長する」ことはなく, この所見は病的 であり、Temporal dispersion と呼ばれる。脱髄性 ニューロパチーの特徴的所見とされている4,6,7。

2) 遅発性電位

M波測定時にM波より後方の潜時で出現する波形を遅発性電位とよぶ。遅発性電位には、F波、H波、A波があることが知られている。

① F波

運動神経が刺激されて発生したインパルスが運動神経線維を逆行して脊髄前角の運動ニューロンに達することで記録される電位とされている。このインパルスが運動神経線維を末梢にむけて順行性に伝播し、再度記録筋から観察される遅発電位がF波である。このF波には、MCSやSCSとまったく違った特徴的な現象がみられる。F波は運動神経が刺激されても必ず発生するものではなく、潜時や振幅などにばらつきをもって観察される。ゆえに最短潜時、最大伝導速度、持続時間、潜時・振幅・波形の多様性、出現頻度などが評価対象となり、末梢運動神経

の全般的な伝導機能評価として臨床応用される。末 梢神経や脊髄神経根の脱随病変、伝導ブロックには M波よりも鋭敏に反応し⁹、また糖尿病性ニューロパ チー等の代謝性疾患にともなう末梢神経障害での鋭 敏な検査項目として利用される¹⁰。

② H波

臨床的には深部腱反射と同じ生理的機序をもつ遅発性電位である。筋紡錘に分布している求心性神経が刺激により、脊髄でシナプスを介して運動ニューロンを興奮させる結果として出現する電位である。最大の特徴は、最大振幅のM波が得られるような強い刺激強度でH波は減少するか消失することが観察される。通常はヒラメ筋、橈骨手根屈筋などで測定され、日常検査で記録する神経で、健常者ではH波は観察されない。深部腱反射が亢進しているような病態においては観察される。また、S1 神経根の障害の検出や、脊髄前角ニューロンの興奮性を調べる目的で利用される1.

③ A波

脱神経や再生線維,脱髄がある場合に観察される.神経近傍で軸索側枝の分岐がある場合に,一方の軸索に生じた逆行性興奮が分岐点で他方の軸索に反転し,順行性興奮となり遅発性電位として記録される. A波は, M波とF波の間に出現し,刺激が一定である限り潜時は変動しない². 健常者では,腓骨神経以外では観察されることは少ない. A波が記録される疾患として疾患特異性はないが,脱髄性ニューロパチー,糖尿病性ニューロパチーなどで高率に出現する

3)筋肉内神経電位 (intramuscular nerve potential)

M波の前に小さな電位が出現することがあり、これを筋肉内神経電位と呼ぶ². 筋電計はこの小波形を M 波の始まりと間違えて表示することがあるので 紛らわしい場合はディスプレイの感度を上げ、確認が必要である.

IV 検査に影響する重要な因子

1)皮膚温

皮膚温が低い状況では、伝導速度は遅延し、振幅は増大することが観察される。一般に 1° C低下すると伝導速度は 5° ($\stackrel{.}{=}2^{\circ}$ m/sec) 低下すると報告^{2,5,12} されている。皮膚温低下による偽りの速度低下や振幅増大を避けるため、四肢を充分に暖めた状態で検査を行わなければならない。検査最適皮膚温は、上肢は前腕部中点で測定し33 $^{\circ}$ C以上、下肢は下腿部中点で測定し32 $^{\circ}$ C以上と規定されている².

2) 年齢

乳児では伝導速度が遅く,成人の半分程度である。

3-8才で成人範囲に達するが,さらに高齢者では伝 導速度,振幅ともに約10%低下するとされている¹³. V 当院参考基準値の設定

健常人ボランティア38名(例数:74)(年齢22~39歳,平均年齢28.1歳,男性13名,女性25名)を対象とし NCS 参考基準値の設定を行った。

測定機器は VikingSelect™ (Nicolet 社) であり, 測定神経は正中神経, 尺骨神経, 橈骨神経, 脛骨神 経, 総腓骨神経, 腓腹神経である.

測定項目は CMAP・SNAP・F波であり各々につき、基準値設定パラメータ(潜時、振幅、持続時間、

刺激点

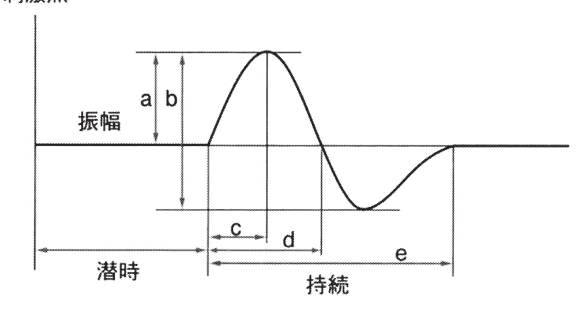


図1 パラメーター設定位置 振幅は CMAP, SNAP ともに a を採用, 持続 時間は CMAP:d, SNAP:c を採用

伝導速度)を測定した、皮膚温は検査開始時に上肢 は33°C以上(前腕部中点),下肢は32°C以上(下腿部 中点)になるまで暖めた。電極・刺激位置について は活性電極,基準電極,電気刺激部位をマニュアル に沿って統一した。図1で示すように①潜時 latency ②振幅 amplitude (CMAP, SNAP ともに a:baseline-peak を採用) ③持続時間duration time (CMAP:d, SNAP:c を採用) のパラメータ を設置した、NCS のパラメータの設定時にはいくつ かの規定がある。リアルタイムに振幅が 2-3 div の 大きさで記録できるように, 感度を調整し記録する. 潜時の設置場所に不審な点があれば,必ずディスプ レイ上で感度を上げ,筋肉内神経電位ではないかど うかを確かめることとし、遅発電位(F, A, H波) に関しては、50 μV 以下の電位をカウントしない事 とした.

伝導速度と潜時は正規分布をとる²ので、平均値±標準偏差の2倍を基準値とした。一方振幅は正規分布せず、ばらつきも大きいので、健常人の最低値を正常下限と規定した。基準値を設定していない数値は、左右の神経を比較して評価とする事とした。例えば伝導速度の左右差はほぼ5m/sec以内¹⁴であることを参考にした。当院の参考基準値を表1に

表1 当院参考基準値

CMAP	distal latency (ms)	amplitude (mV)		velocity±2SD (m/s)	範囲
Median Nerve	< 4.0	>3.95	Wrist-Elbow	59.1±4.8	54.3-63.9
Ulnar Nerve	<3.1	>4.22	Wrist-BelowElbow	61.7 ± 6.2	55.5-67.9
Radial Nerve	< 2.6	>0.90	Below-AboveElbow	64.0 ± 10.8	53.4-74.6
Tibia Nerve	< 5.7	>7.28	Ankle-Knee	49.1±5.2	43.9-54.2
Peroneal Nerve	<5.5	>0.60	Ankle-TibularHead	50.5 ± 7.4	43.1-57.9
F WAVE	velocity ±2SD (m/s)	出現率±2SD (%)	範囲		
Median Nerve	$65.8 \!\pm\! 7.4$	62.3 ± 51.2	0-100		
Ulnar Nerve	67.0 ± 4.6	70.6 ± 41.8	19-100		
Radial Nerve	64.9 ± 11.0	6.7 ± 20.0	0-27		
Tibia Nerve	54.6±5.4	98.2 ± 8.6	81-100		
Peroneal Nerve	53.7 ± 8.0	23.1 ± 40.4	0-63		
SNAP	distal latency (ms)	amplitude (μV)	$ m velocity \pm 2SD \ (m/s)$		
Median Nerve	< 2.9	>13.86	Wrist-Elbow	65.0 ± 6.8	58.3-71.8
Ulnar Nerve	< 2.4	>10.77	Wrist-BelowElbow	66.7 ± 7.8	58.9-74.1
Radial Nerve	<2.8	>5.29	Forarm-Elbow	66.1±8.6	57.5-74.7
Sural Nerve	14 cm latency (ms)	14 cm amp (μV)	velocity ±2SD (m/s)		
	< 3.6	>7.71	0-14 cm	52.3±8.8	43.5-61.1

120 岡 知 珠他

示す。なお、加齢による変動が大きく、基準範囲も 大きいので、異常値の解釈には臨床的判断が必要で あると思われる。

当院では機器の更新と標準的手技検査にて技術の向上と安定した検査が可能となった。平成20年12月基準値設定に伴い,数値データに加えて波形を添付した報告様式に変更(図2および図3),あわせてF波検査項目の追加を行なった。平成22年3月には橈骨神経,総腓骨神経の項目を追加し,臨床診断の一環に貢献できるよう努力している。

VI NCS 検査を行うにあたっての実際の記録方法 NCS 検査を行うにあたっての基本的注意点を列記すると以下の①~④となる。

Temp: 32.0°C

Amp: 1, 20-3kHz

- ① 接触抵抗インピーダンスを充分に下げる。
- ② 運動神経伝導検査では、Belly-tendon 法³ を遵 守する。活性電極は筋腹に、基準電極は遠位部 腱に貼附する。
- ③ 電気刺激は、最大上刺激 (supramaximum) で行う。
- ④ 最適刺激位置で(MCSでは波形の立ち上がりが陽性にふれる場合、陰性側に立ち上がる貼附位置に活性電極位置にずらす必要がある)できるだけ弱電流で最大上刺激をえる。

VI-1) 正中神経(神経根 C6/C7/C8/Th1, 腕神経叢 U/M/L, Ld/Md)

運動神経伝導検査に関しては、記録電極は活性電

図3 報告書(波形)

末梢神経伝導検査スクリー	ニング			
患者氏名: テスト クイクイ, tesuto kuikuiku 生年月日: 1941/02/23 年齢 性別: 69 / Female 120 cm / 40 kg	ID 番号: オーダー番号: Date of Exam:	91919191 2007040900039 09 Apr 07 16:25		
担当者:				
Motor Nerve Conduction:				
Nerve and Site Latency Median.L	Amplitude	<u>Duration</u> <u>Conduction</u>		
Wrist 3.7 ms	14.09 mV	5.5ms m/s		
Elbow 7.4 ms	13.85 mV	5.7ms 59.4 m/s		
Median.L				
Wrist 2.2 ms	8.92 mV	4.3ms m/s		
Elbow 5.2 ms	8.42 mV	4.1ms 63.3 m/s		
Sensory Nerve Conduction: Nerve and Site Median L Wrist 2.7 ms Elbow 6.0 ms	Amplitude 27.57 μV 16.89 μV	Duration Conduction 0.7ms m/s 1.0ms 81.8 m/s	図 2	報告書(数値) 基準値内は緑,基準値を外れると 赤でプロットされる。
テスト クイクイ, tesuto kuikuiku Lef <mnc> Rec: APB, Stim: Wrist, Elbow, Axilla Switch: STOP Rate: 図 1 Hz) Lev</mnc>		#62 22:36:32		
Stim: 1 Nate. W THZ Lev	1 5 ms 1 Step: Hold	Average: Off Sig. Enhancer: Off		
	Birth Date: 23 Feb 4' Exam. Date: 10 Nov	1 Female 120cm 08 Age: 67Y 261D		
	Recording Site: A			
	Recording Site. A			
A1	39.6mA ▼ 10 mV A A1: Wrist A2: Elbow	Lat1 Dur Amy Atea Temp		
A2	Segment APB-Wrist Wrist-Elbow	Dist Diff CV rAmp rArea		
	▼ 10 mV ▲			

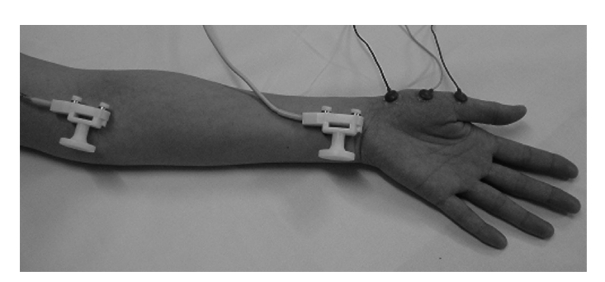


図4 正中神経 MCS 電極・刺激位置 装着電極は遠位部より,基準電極(母指近位 節),活性電極(APBの筋腹),アース 刺激部位は手根部(活性電極から6cm近位 で,橈側手根屈筋と長掌筋の腱の間)と肘部 (腕動脈内側)を同時にマーク



図5 正中神経 SCS 電極・刺激位置 装着電極は遠位部より,基準電極(第II 指遠 位指節),活性電極(第II 指中手骨),アース 刺激部位は MCS と同様位置,手根部と肘部 を同時にマーク

極を短母指外転筋 (APB) の筋腹, 基準電極を母指 近位節に貼附する。電気刺激部位は, ①手根部では 活性電極から6cm 近位で, 橈側手根屈筋と長掌筋 の腱の間②肘部では腕動脈内側とする。(図4)感覚 神経伝導検査に関しては, 記録電極は活性電極を第 II指中手骨, 基準電極を第II指遠位指節とし,電気 刺激部位は運動神経伝導検査と同様とする。(図5) VI-2) 尺骨神経(神経根 C8/Th1, 腕神経叢 L, Md)

運動神経伝導検査に関しては、記録電極は、活性電極を小指外転筋 (ADV) の筋腹、基準電極を第V指近位節に貼附する。電気刺激部位は①手根部では活性電極から6cm近位で、尺側手根屈筋の腱の橈側に②肘遠位部では肘関節溝から3cm 遠位に③肘近位部では肘関節溝から3cm近位とする。肘部の刺激を行うときには、90-130度前後の屈曲位で測定する。感覚神経伝導検査に関しては、記録電極は活性電極を第V指中手骨、基準電極を第V指遠位指節に貼附する。電気刺激部位は運動神経伝導検査と同様とする。

VI-3) 橈骨神経(神経根 C5/C6/C7/C8, 腕神経叢 U/M/L, Pt)

運動神経伝導検査に関しては、記録電極は活性電極を尺骨茎状突起から3cm近位(示指伸筋:EIP)に、基準電極を尺骨茎状突起に貼附する。電気刺激

部位は①前腕部では活性電極より7cm 近位で,尺側手根伸筋の橈側に,②上腕部では上腕二頭筋と腕橈骨筋の間に③Erb 点とする. 感覚神経伝導検査に関しては,記録電極は活性電極を第I指手背基部,基準電極を第I指遠位指節に貼附し,電気刺激部位は橈骨上14cm 近位部とする.

VI-4) 脛骨神経(神経根 L4/L5 S1/S2/S3)

運動神経伝導検査に関しては、記録電極は活性電極を母趾外転筋 (AH) の筋腹、基準電極を母趾基部に貼附する。電気刺激部位は①足首部では活性電極から9 cm 近位で、内果の後方でアキレス腱に至るまでの間に、②膝窩部では膝窩皺上、膝窩動脈付近とする

VI-5) 総腓骨神経(神経根 L4/L5 S1/S2)

運動神経伝導検査に関しては、記録電極は活性電極を短指伸筋(EDB:extensor digitorum brevis)の筋腹、基準電極を小趾基部に貼附する。電気刺激部位は①足首部では活性電極から6cm近位で、前脛骨筋と長母趾伸筋(extensor hallucis longus)の間に、②腓骨骨頭遠位部では腓骨骨頭から3cm遠位部に③膝窩部では大腿二頭筋の内側とする。

VI-6) 腓腹神経(神経根 S1)

神経走行上に圧迫を受ける部分がないので、全身性感覚性ニューロパチーの検査に適している。神経生検が行われる機会が極めて多い神経である。よって、神経徴候、生理、形態学の対比ができる唯一の神経である。感覚神経伝導検査に関して記録電極は、外踝とアキレス腱の間に活性電極、基準電極は活性電極から3cm遠位部に貼附し、電気刺激部位は①活性電極から14cm近位で腓腹筋アキレス腱付着部の1cmほど外側と②14cm部位より3.5cm上方部分の活性電極から17.5cm部位、③14cm部位より7cm上方部分で活性電極から21cm部離れた部位とする。

VII NCS 結果と病態との関連

1) 軸索変性

神経細胞体や軸索が障害され、神経線維の興奮が 失われた状態をさす。基本的な所見は CMAP・ SNAP 振幅は低下/消失し、伝導速度の低下は軽度 にとどまる。

2) 脱髄

髄鞘が崩壊し生理学的機能である跳躍伝導が失われた状態をさす。伝導速度は低下し,終末潜時は延長する。そして波形は多相性となる。一方,振幅は比較的保たれることが多いとされる。しかし,これらの所見は軸索変性,脱随いずれの場合にもおこる。軸索変性なのか脱随なのかを病態把握するためには、主たる病態変化を見極めることが重要となる。

このため診断基準^{26,28} を用いて、病態判定を行うことになっている

本論文で後に呈示する圧迫性・絞扼性神経障害の 病態生理と電気診断は原則が異なる。神経への障害 が比較的短時間である場合は,病態は圧迫が主体で ある、検査所見は脱随所見であることが多い。一方、 障害が長期に及び、神経離断の所見が得られるよう な場合には、神経への圧迫から脱髄と伝導ブロック が生じ、特に直接的に圧が加わっている場所と圧か ら外れた境界部に脱髄が生じる。手根管症候群での 伝導障害では手根横靭帯の縁に集中している2.強い 圧迫では,脱髄に加え,軸索離断(神経離断:ワー ラー変性)も生じる。離断軸索が多いと回復遅延や 後遺症残存等の予後的問題が生じる。離断直後は伝 導性が失われないため伝導ブロックの所見となる. 2週間以上経過すると, 伝導性が失われ遠位部 CMAP が低下し、軸索障害パターンとなる、この時 期筋電図では Fibrillation が出現する. 圧迫性・絞扼 性神経障害の電気生理学的診断で重要なことは、障 害されていない神経は正常である。 すなわち、障害 部位以外には異常がないことを確認した上で,診断 基準が適応されることを意味する.

VⅢ 手根管症候群診断の為の NCS 検査

圧迫性・絞扼性神経障害のひとつに手根管症候群 (CTS: carpal tunnel syndrome) がある。アメリカ 電気診断学会(AAEM) は2002年に CTS の診断ガイドライン改定版を公開,診断に用いられている¹⁶. CTS の電気生理学的な gold standard である検査 基準は存在しないのであるが、2007年日本神経治療学会において「CTS の標準的神経治療(指針)」が作成されている¹⁷. 当院での検査項目に、CTS の電気診断検査診断基準の項目を取り込めれば、臨床ではより充実した情報提供ができると考えており、検査項目の見直しを進めている。現在は神経内科からの CTS 患者にこの電気診断検査の一部を実施している。CTS の概要および経験した 1 症例を呈示する。

CTSとは手根管(手根骨と横手根靱帯からなるトンネルであり、9本の指屈筋腱とともに正中神経が走行する²⁰)に様々な原因によって生じる正中神経障害の総称である。上腕の絞扼性神経障害では正中神経の手根管症候群が最も頻度が高く、多くは特発性で、手首の屈曲・伸展による物理的負荷により発症すると考えられている。手根管腔の内容物の増加や、腔を狭めるような障害が加わるなどの物理的負荷以外の誘因としては、①手根管の内腔を狭める局所因子(腱鞘炎・リウマチ・透析によるアミロイド沈着・腫瘍・ガングリオン・骨折)②神経側の脆弱性(遺伝性圧脆弱性ニューロパチー・糖尿病性多発

ニューロパチー) (3)全身性要因(妊娠・浮腫・甲状 腺疾患・原発性アミロイドーシス) などがある17,20,23。 症状は正中神経領域(母指・示指・中指と環指の橈 側 1/2) のしびれ感や疼痛が多く、初期には中・環指 の知覚障害で始まることが多い。 逆に正中神経領域 のみに限局せず, 小指を含む手全体と表現される事 もある。夜間就寝時や早朝に手のしびれが増強する のが特徴で、手を使う運動でもしびれが増強する. 手を振ることで軽快するのも特徴的である。進行期 には正中神経支配の手内筋の脱力や筋萎縮が認めら れる。筋萎縮を観察しやすいのは短母指外転筋であ るが、日常生活では短母指屈筋と第一虫様筋の麻痺 によってものをつまむ動作が最も問題になる。自覚 症状および、Phalen 徴候(手関節の屈曲位を1分間 維持した場合の手根管内圧上昇による異常感覚の増 悪), Tinel 徴候 (ハンマーで手根管部タップによる 放散痛),短母指外転筋の筋力低下,母指球筋萎縮な どの特徴的症候がそろえば手根管症候群の診断はほ ぼ確実となり、補助検査としては神経伝導検査が有 用になる17。手根管部における局所性の神経伝導遅 延から確定診断が可能となる。また軸索変性の程度 を確認できることから、治療の選択に重要な情報を 得る事ができる。近年では MRI や超音波検査も有 用であるとの報告^{21,22} がある。CTS は頻度の高い疾 患である為, 他疾患の合併症による複合病増を呈し ている可能性を念頭に置くべきであり、特に頚椎症 との合併症は double crash 症候群とよばれる。ま た糖尿病性多発ニューロパチーにおいても正中神経 手根管部は病変の好発部位であるが, 多くは無症状 であり典型的な CTS は呈さない^{17,23}.

CTS における電気生理学的検査は①正中神経の遠位部(手首以遠)に障害があることを示すこと,②可能であればさらに障害部位が手根部に局在することを示すこと,③正中神経の手掌部以外の分節や,他の神経が正常であることを示すことを根拠とし,手のしびれをきたす他疾患(他のニューロパチーや頚椎症候性神経根症)を除外したうえで診断する。NCS によって CTS の重症度を評価することで,治療方針の決定,手術予後などの参考とすることができる

CTS が疑われる症例に対する電気生理学的検査の推奨手順が日本神経治療学会から出されている. ①臨床的に CTS が疑われる症例では a.b の検査を行ない,手首以遠の伝導遅延が示された場合に cを行う. (a:手首,肘刺激での正中神経 MCS, b:手首〜指間の正中神経 SCS, c:同一肢の他の NCS (通常は尺骨神経))②①でa.bが正常または境界域の場合は以下の方法のいずれかを行なうこと

表2 CTS診断の為の各電機診断法の感受性・特異性と推奨レベル

	手法	感受性	特異性	AAEM 推奨レベル	日本ガイドライン 推奨レベル
Α	正中神経手掌~手首間感覚(混合)神経伝導の前腕部	0.85	0.98	Standard	Standard
	ないし指~手掌間との比較				
В	環指~手首間の感覚神経伝導の正中―尺骨比較	0.85	0.97	Standard	Standard
C	正中神経手掌~手首間感覚(混合)神経伝導	0.74	0.97		
D	正中神経手掌~手首間混合神経伝導の正中一尺骨比較		0.97	Standard	Standard
Е	正中神経手首~手掌間の運動神経伝導		0.98	Option	Option
F	母指~手首間の感覚神経伝導の正中-橈骨比較		0.99	Standard	Standard
G	正中神経指~手首間の感覚神経伝導		0.98	Standard	Standard
Η	正中神経運動遠位潜時		0.98	Guideline	Standard
I	正中神経運動神経 terminal latency index (TLI)		0.94	Option	Option
J	正中神経(第2虫様筋)一尺骨神経(第1掌側骨間筋)		0.98	Option	Standard
	運動遠位潜時比較				

を推奨されている。

- a. 環指~手首間の正中/尺骨神経の SNAP 比較 (Ring-finger test)
- b. 母指~手首間の正中/橈骨神経の SNAP 比較
- c. 正中神経 (第2虫様筋)/尺骨神経 (第1掌側骨間筋)の MCS 遠位潜時比較 (2L-INT法)
- d. 手根部を挟む7~8cmの同一距離での正中神経と尺骨神経の感覚または混合神経伝導の比較
- e. 正中神経の手首〜手掌間の感覚ないし混合神経 伝導を,前腕部または手掌以遠の伝導と比較

③①でCMAP, SNAPとも導出不能の場合は② c.の手技を行なうことを推奨している。④補足的検査として正中神経手首~手掌間のMCSや伝導ブロックの評価、感覚神経インチング法(正中神経の障害部位を限定するために手根管部前後の神経分節を1~2cm間隔で刺激し、波形の変化を観察する。)等がある。日本神経治療学会より提出されたCTS診断のための各電気診断法の感受性と特異性の比較および推奨レベルを表2に提示する。

生理検査室ではルーチン検査(表 2 記載 G.H 合む) として,B (Ring-finger test)・J (2L-INT 法) 検査が可能であり,2L-INT 法においては尺骨・正中神経潜時差が0.5 ms 以上であれば有意と考えられるとの報告がある2.23。

CTS の症例提示

【症例】 59歳女性, 仕事で特に右手 I ~Ⅲ指を使用していた.

【臨床症状】 早朝起床時両手しびれ出現,夜には消失.右手II・III指が特にしびれが強い.しびれの範囲は肩まであった.臨床的に CTS が疑われる症状である.

【検査成績】 右正中神経の MCS, SCS の遠位(手根部) 潜時がそれぞれ5.4,3.8 ms と延長.振幅の低下

は認めず,指~手首間の感覚神経伝導速度が35.4 m/s と遅延があった。Ring-finger test,2L-INT 法ではそれぞれ2.4,1.4 ms の差が生じていた。同側の尺骨神経では若干の伝導速度の遅延を認めたが,潜時・振幅は基準値範囲内であった。なお,頸椎 MRIにて,頸椎症は否定された。

文献17引用

【治療】 メバチコール錠500 μg 錠:1回1錠1日 3回(朝・昼・夕食後)にて保存的治療された。

【経過】 3ヶ月後,自覚症状が改善した段階で,再検査となった。右正中神経の MCS,SCS の遠位(手根部) 潜時はそれぞれ4.4,3.3 ms,指~手首間の感覚神経伝導速度は42.6 m/s と改善したものと判断された。Ring-finger test,2L-INT 法でもそれぞれ 1.9,1.0 ms と改善が軽度あった。よって長期的経過観察となっている。

本症例では、正中神経の遠位潜時の項目以外に、 CTS電気診断を目的とした検査項目を追加する事で、診断に役立つ情報を提供できたと考えられる。 今後は圧迫部を特定することが可能であるインチング法の手技も会得し、臨床に役立つ検査の拡充に努めたい。いずれは、CTSの電気診断基準自体を周知する啓蒙活動の役割を担いたいと考える。

終わりに

当院における NCS の手技・院内参考基準値について紹介した。NCS はその数値のみで直接診断できる検査ではないが、臨床症状とあわせて有力な診断情報となり得る。生理検査室としては検査時の症状聴取等で症状にあわせた検査を実施し、質の高い情報提供を行なっていく努力を怠ってはならないと考えている。

文 献

- 1. 木村 淳,幸原伸夫 (2003) 神経伝導検査と筋電図を学ぶ 人のために、東京,医学書院
- 2. 園生雅弘, 馬場雅之 編 (2004) 神経筋電気診断の実際。 東京, 星和書店
- 3. 廣瀬和彦 (1992) 筋電図判読テキスト。東京, 文光堂
- 4. 幸原信夫 (2006) 末梢神経伝導検査A。末梢神経伝導速度 の基本知識 a。運動神経伝導検査。神経内科 65 [Suppl. 4]:192-197
- 5. 幸原信夫 (2006) 末梢神経伝導検査A。末梢神経伝導速度の基本知識 b。感覚神経伝導検査。神経内科 65 [Suppl. 4]:198-203
- 6. 小森哲夫 (2006) 末梢神経伝導検査A. 末梢神経伝導速度 の基本知識 d. Conduction bulock の検査. 神経内科 65 [Suppl. 4]: 213-219
- 7. 馬場雅之,小川雅也,尾崎 勇,松永宗雄 (1999) CIDP の臨床、神経内科 50:248-254
- 8. 桑原 聡, 三澤園子 (2006) 末梢神経伝導検査 B. 末梢神経伝導速度の臨床応用 c. 脱随性ニューロパチー. 神経内科65 [Suppl. 4]: 240-247
- 9. 小森哲夫 (2006) 末梢神経伝導検査A. 末梢神経伝導速度 の基本知識 c. F波, H波の記録. 神経内科 65[Suppl 4]: 204-212
- 10. Kohara N, kimura J, Kaji R, Goto Y, Ishii J, Takiguchi M, Nakai M (2000) F-wave latency serves as the most reproducible measure in nerve conduction studies of diabetic polyneuropathy: multicentre analysis inhealthy subjects and patients with diabetic polyneuropathy. Diabetologia 43: 915-921
- 11. 馬場雅之 (2006) 末梢神経伝導検査B. 末梢神経伝導速度 の臨床応用 a. 糖尿病性ニューロパチーへの臨床応用. 神経 内科 65 [Suppl 4]: 227-232
- 12. Rutkov SB (2001) The effect of temperature in neuromuscular electrophysiology. Muscle Nerve 24: 867-872
- 13. 藤原哲司 (1999) 第 3 版 筋電図・誘発電位マニュアル。 京都、金芳堂
- 14. 金 春玉, 馬場正之, 松永宗雄 (2003) 健常若年成人における運動神経伝導パラメータの左右差について. 臨床脳波, 45:234-238
- 15. Aldo OP, 柏森良二 訳 (1997) 筋電図のための解剖ガイド. 東京, 西村書店
- 16. American Association of Electrodiagnostic Medicine,

- American Academy of Neurology, and American Academy of Physical Medicine and Rehabilitation. (2002) Practice parameter for electrodiagnostic studies in carpal tunnel syndrome: summary statement. Muscle Nerve 25: 918-922
- 17. 日本神経治療学会,標準的神経治療:「手根管症候群」作成委員会編(2008)標準的神経治療:手根管症候群,神経治療25(1)
- 18. 長谷川修,松下ゆり,飯野光治,松本俊介,森 泉(1999) 上肢の神経伝導検査:虫様筋・骨間筋法の応用。神経内科 50:460-463
- 19. 有田元英, 正門由久, 木村彰男, 千野直一(1998)手根管 症候群診断における虫様筋と短母指外転筋運動神経伝導検 査併用の有用性, リハビリテーション医学 35:541-548
- 20. 茨木邦夫, 斉藤英彦, 吉津孝衛 編(2004)手の外科診療 ハンドブック. 東京, 南江堂
- 21. Jarvik JG, Yuen E, Kliot M (2004) Diagnosis of carpal tunnel syndrome: electrodiagnostic and MR imaging evaluation. Neuroimaging. Clin N Am 14: 93-102, viii, Review
- 22. Ziswiler HR, Reichenbach S, Vögelin E, Bachmann LM, Villiger PM, Jüni P (2005) Diagnostic value of sonography in patients with suspected carpal tunnel syndrome: a prospective study. Arthritis Rheum 52: 304-311
- 23. 長谷川修 (2009) 絞扼性神経障害 手根管症候群の診断。 MB Orthop。22(13): 33-42
- 24. Shin J. Oh, 白井康正 監訳 (1996) 筋電図実践マニュアル. 東京, 医学書院
- 25. 目崎高弘, 水谷江太郎, 木村 淳 (1999) CIDP の診断基 準. 神経内科 50:217-222
- 26. The American Academy of Neurology. Ad Hoc Subcommittee. (1991) Resarch criteria for diagnosis of chronic inflammatory demyelinating polyneuropathy. Neurology 41: 617-618
- 27. Ho TW, Mishu B, Li CY, Gao CY, Cornblath DR, Griffin JW, Asbury AK, Blaser MJ, McKhann GM (1995) Guillain-Barré syndrome in northern China. Relationship to Campylobacter jejuni infection and antiglycolipid antibodies. Brain 118: 597-605
- 28. Olney RK, Lewis RA, Putnam TD, Campellone JV Jr (2003) Consensus criteria for the diagnosis of multifocal motor neuropathy. Muscle Nerve 27: 117-121